

# 配电网中的 串联补偿装置

曹、荣江 编著

中国工业出版社

本书叙述用于配电网中的串联补偿电容器装置，分析它的运行条件、保护方式、调压效果及提高线路输送能力的作用，列举了一些必要的计算公式及算例。其中关于保护回路元件的要求原则与计算公式，同样适用于超高压线路的串联补偿装置。

本书系作者根据几年来搜集的有关文献资料，综合阐述配电网中采用串联补偿装置的若干问题。可供有关设计、运行单位的工程技术人员阅读，对高、中等院校有关专业的师生也有参考价值。

本书编写过程中，毛鈞蔚、甘澄泽、陈干周、王义基、薛卫、沙察民、方思立、陈天祥、馬崇兴等同志曾对原稿个别部分进行了审改，并对某些公式的推导提供了帮助。

## 配电网中的串联补偿装置

曹荣江 編著

\*

水利电力部办公厅图书编辑部編輯(北京阜外月坛南街房)

中国工业出版社出版(北京东城区东直门内大街1号)

北京市书刊出版业营业登记证字第110号

中国工业出版社第一印刷厂印刷

新华书店北京发行所发行·各地新华书店經售

\*

开本787×1092<sup>1/52</sup>·印张3<sup>3/4</sup>·字数79,000

1964年12月北京第一版·1964年12月北京第一次印刷

印数0001—10,220·定价(科六)0.48元

\*

统一书号：15165·3526(水电-459)

# 目 录

第一节 引言 .....	1
第二节 采用串联补偿装置改善配电线路上端电压质量与采用并联补偿方案的比较 .....	5
第三节 采用串联补偿装置对增加系统无功功率的效果，无功功率对补偿效果的影响 .....	10
第四节 关于线路损失 .....	14
第五节 串联补偿装置与并联补偿装置对改善线路始端功率因数的比较 .....	16
第六节 如何决定串联补偿装置电容器的容量，配电网路的电气计算举例 .....	19
第七节 串联补偿电容器在配电网路中的安装位置 .....	27
第八节 在配电线路上的短路过程中串联补偿电容器上暂态过电压的计算 .....	29
第九节 配电网路中的串联补偿电容器对过电压的保护 .....	36
第十节 串联补偿电容器与并联补偿电容器（即余弦电容器）在技术要求上的差异 .....	57
第十一节 串联补偿装置在网络中引起的铁磁谐振现象 .....	65
第十二节 感应电动机在装有串联补偿装置的线路上的起动过程及其自励磁区域的分析 .....	67
第十三节 串联补偿装置在投入运行前的试验项目 .....	85
第十四节 设计串联补偿装置的程序 .....	88

## IV

附录1	配电网路中采用串联补偿装置的情况简介	90
附录2	CY-0.6-50-1型串联补偿电容器使用贮藏运输 说明书(摘要)	94
附录3	架空线路的阻抗参数值	99
附录4	电力电容器和耦合电容器的试验项目、周期和 标准	103
附录5	在配电网路中采用串联补偿装置调节电压水平 的某些问题(摘译自有关资料)	104
参考文献		114

## 第一节 引 言

串联补偿电容器装置是近年来逐渐得到推广的电力技术之一。利用串联在线路上的电容器组形成的集中性电容阻抗，补偿线路上的分布性电感阻抗，可以达到增加线路输送容量，改善配电电压质量，改善并联各线路间的负荷分布情况以降低总线损等目的。

设配电线路的参数为 $R+jX_L$ （欧/每相），线路电流为 $I$ （安），则沿线压降为 $I(R+jX_L)$ 伏。如果配电线路过长，线路感抗 $X_L$ 甚大，压降过大，则会使末端电压水平过低。在采用串联补偿电容器后，设每相接入的电容器容抗为 $-jX_c$ （欧），则压降为 $I[R+j(X_L-X_c)]$ 。由于线路感抗 $X_L$ 及电容器容抗 $X_c$ 互相抵消，从而降低了电压损失，达到提高末端电压水平的目的。

串联补偿装置按其效果可分为两类：在220千伏（或110千伏）及更高电压等级的系统中常用以提高线路输送容量，提高系统的动、静稳定性，合理分布并联线路间负荷等。其补偿度 $K$ 一般约为0.15~0.6左右，这是由它的使用目的及经济上的原因所决定的；在60~110千伏（或220千伏）及以下的网络中常用以改善线路的电压水平，提高配电网的输送能力。在一定的输送功率下，因线路电压水平的提高而降低了全电流值，从而降低了线损，能获得相当高的经济效益。配电网中的电阻值 $R$ 较大，甚至有时超过其电感阻抗值 $X_L$ 。为了对电阻 $R$ 形成的压降也进行适当的补偿，配电网中串联补偿电容器的补偿度多接近于1，或大于1，一

般在1~4之間。

这里对补偿度 $K$ 的含义提供一点意見。

所謂补偿度 $K$ 系指电容阻抗对沿綫分布性电感阻抗的补偿程度，因此，一般地命

$$K = \frac{\text{串联补偿装置的每相电容电抗(欧)}}{\text{每相沿线分布性电感电抗值(欧)}} = \frac{X_C}{X_L}.$$

$K$ 值也可以用%表示。

應該注明，按照这个定义， $X_L$ 中并不包括电机及变压器的感抗。

补偿度 $K$ 值可在一定程度上代表串联补偿装置的运行特性。作者认为在配电网絡中的 $K$ 值在1.5~2以上时，可理解为高补偿度；在1~1.5时，可理解为中补偿度；在0.5上下时，可理解为低补偿度。例如，在高补偿度下，可能产生感应电动机在起动过程中的自励磁現象和綫路的鐵磁諧振現象等。从 $K$ 值又可以大致估計串联电容器的容量和綫路在补偿前的运行特性等。

既然 $K$ 值系表明补偿特性的数据， $K$ 值中的 $X_L$ 数值的計算方法可以按照不同的具体情况而有不同的理解，但应以能恰当的表明該补偿装置的运行特性为宜。

例如在沿綫沒有分支綫的情况下， $X_L$ 当然系指綫路首末两端間的綫路总感抗。

如果綫路全部系分散性的較小負荷， $X_L$ 的含义仍与上同。

又例如綫路上有若干負荷点1、2、3、4等（图1），其中以負荷1为最大，居主要地位，则在計算 $K$ 值中的 $X_L$ 时，以取 $X_{0-1}$ 值为宜，不应取为 $X_{0-4}$ 或其他。因为只有这样才能表明串联补偿装置的特性数据，表明它对这条綫路上主要

負荷的影响。这时候，2、3、4各点的負荷均被看成是1处的附加負荷。

很明显， $X_L$  中的数值更不应将負荷感抗也計算在內。

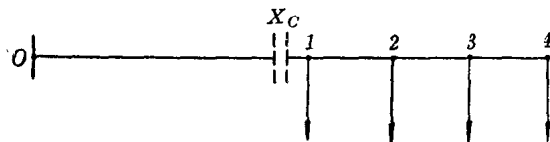


图 1 配电网网络单相示意图

鉴于現場在計算补偿度时各有取舍，难于从补偿度大致估計其运行特性，所以謹作如上的說明。

由于安装串联补偿装置的目的不同，补偿度不同，容量各異，因而所引起的問題也不全一样。关于超高压系統中的串联补偿装置不在本书討論范围之内（參閱文献5、6、7），以下仅对用于配电网絡中的串联补偿电容器的若干問題加以分析闡述。

多次的計算表明，采用串联补偿电容器以改善線路末端电压质量，比为了同一目的而采用并联补偿更为經濟。为达到同一調压效果，采用串联补偿所需的电容器容量仅为并联补偿方案的 $\frac{1}{2}$ ，或更少。串联补偿电容器不經常承受額定电压，因而持續性的电能損失甚低于并联补偿电容器中的損失。

利用串联补偿进行調压及增加网络輸送能力，一般說來与線路电感电抗 $X_L$ 、線路电阻 $R$ 及功率因数 $\cos\varphi$ 有关：当 $\frac{X_L}{R} > 1$ 及 $\cos\varphi < 0.9$ 时，效果特別显著；当 $1 > \frac{X_L}{R} \geq 0.6$ ， $\cos\varphi \leq 0.7$ 时，串联补偿也能获得相当的效果；甚至当

$\frac{X_L}{R} \geq 2$ ,  $\cos\varphi = 0.9 \sim 0.95$  时, 也能起到一定的作用。由此

可見, 功率因数愈低, 效果愈大。当导綫  $\frac{X_L}{R}$  之值愈大时, 效果也愈显著。这意味着当綫路截面具有裕度时, 效果显著。目前我国农村配电网絡中, 由于輸送距离甚远, 功率因数低, 故綫路末端电压水平过低。在一些地区, 沒有考慮綫損的百分比, 送电成本較高, 采用串联补偿装置提高电压水平并降低綫損, 将起到一定的积极作用。

串联补偿的电容性电抗所起的調压作用, 与通过其中的綫路电流成正比关系。当綫路电流較大时, 綫路压降增加, 綫路末端电压水平下降。与此同时, 因电流的增加, 补偿效果显著, 电容器上增大的电压上升程度正好与电感电抗上加大的压降相补偿, 因而串联补偿装置有自行按需要調整末端电压的特点。这是任何其他調压方式所不能及的优点。

用于串联补偿所需的电容器无功容量几乎全部再現于系統末端, 沒有过多的損失。

根据1958年鞍山全国供电技术會議上的若干技术文件, 当时对國內建立的几个串联补偿装置所进行的技术經濟比較表明, 与为了同一目的而采用升压变压器、更換导綫等的費用相比較, 采用串联补偿更为經濟。

近年来, 配电网絡中的串联补偿在日本、瑞典和苏联等国得到更多的发展。

采用串联补偿装置也带来一些特殊問題, 如过电压保护問題, 与空載变压器特性参数配合下的鐵磁諧振問題, 以及在补偿度較大情况下起动感应电动机时的異常現象等。不論怎样, 串联补偿装置在配电网絡中的优良調压作用已得到大

家一致的公认。許多技术問題已为人們所掌握，一些特殊現象也有足够的方法加以避免，因此，串联补偿近年来已逐步得到推广。

## 第二节 采用串联补偿装置改善配电线路上端电压质量与采用并联补偿方案的比較

随着网络負荷的日益增加，在某些地区由于配电线路上（通常系指66~35千伏及以下电压等級的线路）輸送距离較远，輸送能力不足，线路受端压降較大，不能保証必需的电压水平，影响正常供电。由于电压水平低，所需电流大，线路損率极高。为了提高受端电压水平，增加网络中的无功功率（后者是主要目的），一般常采用并联补偿的余弦电容器。以下試圖証明，采用串联补偿装置也可以供給网络以无功功率，而且它的調压效果較并联补偿装置更为显著（請注意，在进行比較时，必須同时考慮到线路的变化及这两种补偿方式附加設备費用的投资）。

将配电线路上简化后，其等值图如图2所示，其中 $R$ 是线路电阻（欧）， $X_L$ 是线路部分总感抗值（欧）， $X_c$ 是串联补偿装置的电容性电抗值（欧）， $X'_c$ 是并联补偿装置的电容性电抗值（欧）， $\dot{U}_1$ 及 $\dot{U}_2$ 是线路首、末两端的相电压（千伏有效值）， $\dot{I}_1$ 及 $\dot{I}_2$ 是线路首、末两端线路电流（千安有效值）。負荷側总功率 $\dot{W}_2 = P - jQ$ ，其中 $\dot{W}_2$ 、 $P$ 、 $Q$ 的单位均以每相兆伏安表示。功率因数角 $\varphi = \operatorname{tg}^{-1} \frac{Q}{P}$ ，每相沿线路压降 $|\Delta\dot{U}| = |\dot{U}_1| - |\dot{U}_2|$ 。

在对两种调压方案进行比较时，作如下的假设：

- (1) 沿线电压降落的绝对值彼此相等；
- (2) 线路末端的电压绝对值彼此相同。

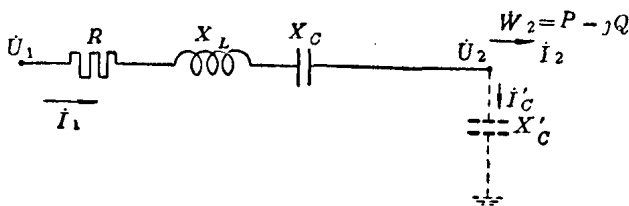


图 2 具有串联  $X_c$  或并联  $X'_c$  补偿装置的配电网  
单相示意图

如图 2 所示，当采用串联补偿电容器  $X_c$  时，可得下列电压降落的公式：

$$\begin{aligned} |\Delta \dot{U}| &= |\dot{U}_1| - |\dot{U}_2| \\ &= |\{\dot{U}_2 + \dot{I}_1 [R + j(X_L - X_c)]\}| - |\dot{U}_2|. \end{aligned}$$

今取  $\dot{U}_2$  作为时间坐标轴的基准，即  $X$  轴，则  $|\dot{U}_2| = U_2$ 。将  $\dot{I}_1 = \dot{W}_2 / \dot{U}_2 = (P - jQ) / U_2$  代入上式，并忽略电压降落中的垂直分量，则经过简化后可得：

$$|\Delta \dot{U}_2| \approx \frac{PR + Q(X_L - X_c)}{U_2}. \quad (1)$$

当采用并联电容器  $X'_c$  以达到上述同一目的时，用同样的方法处理，可得出表示压降  $|\Delta \dot{U}'|$  的算式如下：

$$\begin{aligned} |\Delta \dot{U}'| &= |\dot{U}_1| - |\dot{U}_2| \\ &= |\dot{U}_2 + (\dot{I}_1 + \dot{I}_c)(R + jX_L)| - |\dot{U}_2|. \end{aligned}$$

同前面一样，取  $\dot{U}_2$  为  $X$  轴，代入  $\dot{I}_c = \dot{U}_2 / -jX'_c$ ，其中  $X'_c = \frac{1}{\omega c}$ 。在换算中也将垂直分量略去不计，最后可得：

$$|\Delta \dot{U}'| = \frac{PR}{U_2} - X_L \left( \frac{U_2}{X'_C} - \frac{Q}{U_2} \right). \quad (2)$$

由于目的在于比較上述两种方案的調压效果，故設它們的調压效果相等，即  $|\Delta \dot{U}| = |\Delta \dot{U}'|$ ，亦即 (1) 式等于 (2) 式。这样，簡化后可得：

$$\frac{QX_C}{U_2} = \frac{U_2 X_L}{X'_C}. \quad (3)$$

設串联补偿的三相电容器功率为  $Q'_\text{串}$ ，并联补偿电容器的三相功率为  $Q_\text{并}$ ，并以兆乏表示，则得：

$$\frac{1}{3} Q'_\text{串} = \frac{P^2 + Q^2}{U_2^2} \cdot X_C; \quad \frac{1}{3} Q_\text{并} = \frac{U_2^2}{X'_C}.$$

再設串联补偿电容器在运行中所承受的額定压降为  $U'_{cn}$ ，电容器組本身的額定电压为  $U_{cn}$ ，命  $k = U_{cn}/U'_{cn} > 1$ （表示在设备运行中的裕度），則串联补偿电容器的三相安装容量为  $Q_\text{串} = k^2 Q'_\text{串}$ 。

对上列各式引用 (3) 式的关系后，經過換算可得：

$$a = \frac{Q_\text{并}}{Q_\text{串}} = \frac{U_2^2 \sin \varphi}{k^2 |\dot{W}_2| X_L}. \quad (4)$$

上式表明，并联补偿与串联补偿所需电容器容量之比（在相同的調压效果时）与功率因数角  $\varphi$ 、末端相电压水平  $U_2$ 、每相传輸的全功率  $|\dot{W}_2|$  及線路感抗值  $X_L$  有关。如果  $a$  值大于 1，即  $Q_\text{并} > Q_\text{串}$ ，这表示采用串联补偿所需的电容器較少；如果  $a$  值小于 1，即  $Q_\text{并} < Q_\text{串}$ ，則采用并联补偿所需的电容器較少。再将附加费用考慮在內，从而可决定何种方案为經濟。

● 本文推导的公式与苏联 И.Э.Ибрагимов于1957年所推出的公式相一致。

对于各級配電电压的線路可根據(4)式得出較簡單的計算公式及曲線，以備計算時查閱。其方法如下（其中均設 $k=1.2$ ）：

对于6千伏电压等級的線路可得：

$$a = 8.33 \frac{\sin\varphi}{|\dot{W}_2| X_L}; \quad (5)$$

对于10千伏电压等級的線路可得：

$$a = 23.2 \frac{\sin\varphi}{|\dot{W}_2| X_L}; \quad (6)$$

对于22千伏电压等級的線路可得：

$$a = 112 \frac{\sin\varphi}{|\dot{W}_2| X_L}; \quad (7)$$

对于35千伏电压等級的線路可得：

$$a = 284 \frac{\sin\varphi}{|\dot{W}_2| X_L}. \quad (8)$$

在实例計算中，當功率因數在0.95、0.9、0.8、0.7、0.6的範圍內變化時，相應的 $\sin\varphi$ 值各為0.314、0.44、0.6、0.718、0.8。線路感抗值變化在2~30歐之間，每相輸送功率變化在數百至15,000千伏安之間。根據各級电压線路的一般情況及(5)~(8)式可作出圖3中的各組曲線。曲線的用法如下：當知道某一線路長度後，計算出 $X_L$ 值（附錄3），並乘以每相輸送容量 $|\dot{W}_2|$ ，然後根據不同的 $\cos\varphi$ 值自圖3的相應曲線上查出對應的 $\frac{\sin\varphi}{|\dot{W}_2| X_L}$ 值。再根據線路的电压等級乘以相應的系數即可求出 $a$ 值。如果 $a$ 值大於1，表示採用串聯補償將少用一些電容器。此外，尚應考慮線損的變化、設備條件等其他因素。今舉例如下：

(1) 某35千伏線路，三相輸送容量13兆伏安， $X_L =$

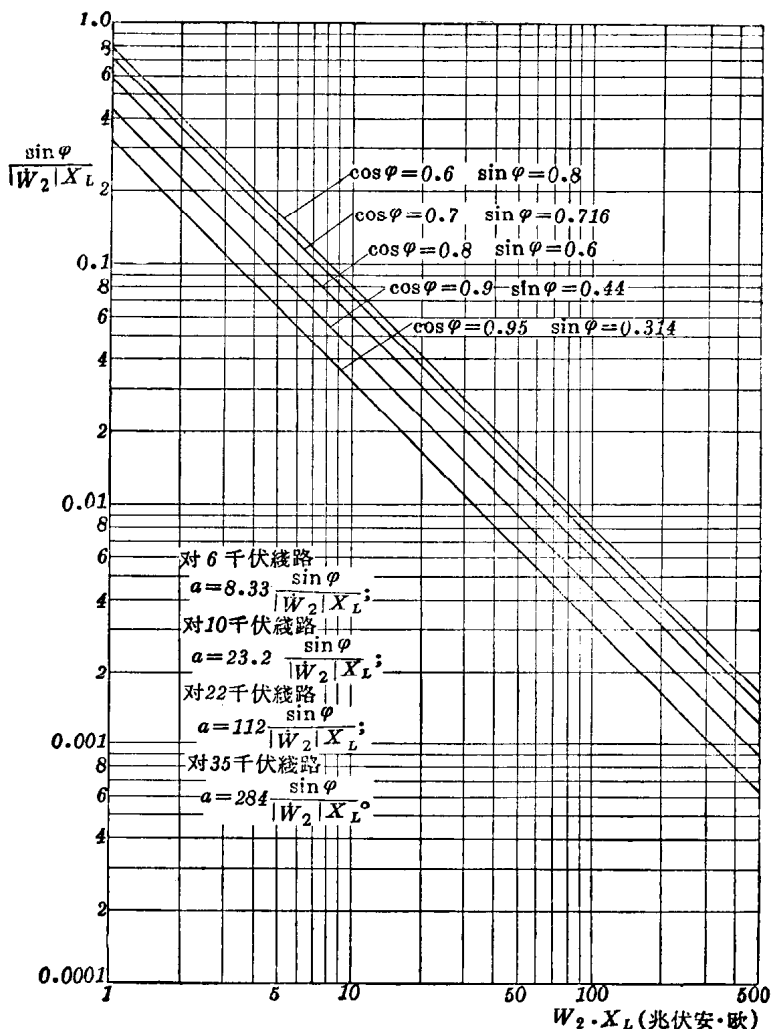


图 3 公式(5)~(8)的计算曲线

24.4 欧，則  $|\dot{W}_2| X_L = 105.8$ 。設  $\cos\varphi = 0.8$ ，由圖 3 可得  $a = 284 \times 0.0054 - 1.54 > 1$ ，這表明，採用串聯補償達到同一調壓效果時，將較並聯補償方案節省約 50% 的電容器；

(2) 某 22 千伏線路，三相輸送容量 1.79 兆伏安， $X_L = 32.3$  欧，則  $|\dot{W}_2| X_L = 19.3$ 。設  $\cos\varphi = 0.8$ ，由圖 3 可得  $a = 112 \times 0.03 = 3.36 > 1$ ，即約可節省三倍的電容器；

(3) 某 6 千伏線路，三相輸送容量 2 兆伏安，線長 5.85 公里， $X_L = 2.07$  欧， $\cos\varphi = 0.8$ ，查得  $a = 8.33 \times 0.4 = 3.33 > 1$ ，效果與前例同；

(4) 某 6 千伏农電線路，長 12 公里， $X_L = 4.5$  欧， $\cos\varphi = 0.8$ ，三相輸送容量 2.08 兆伏安，則  $|\dot{W}_2| X_L = 3.12$ ，查曲線可得  $a = 8.33 \times 0.19 = 1.58 > 1$ 。

綜上述可知，為了調壓，提高線路末端電壓水平，在多數情況下採用串聯補償裝置有極大的經濟意義。

### 第三節 采用串聯補償裝置對增加系統無功功率的效果，無功功率對補償效果的影響①

在配電網絡中感到無功功率不足及電壓過低時，如為了提高線路受端的電壓水平，將本可用於並聯補償的無功容量改為串聯補償，則此時電容器的無功容量是否能再現於負荷一方，需要加以說明。

利用向量圖 4 來說明安裝串聯補償裝置對網絡無功的影

① 本節目的在於說明串聯補償裝置的無功容量對系統功率平衡的關係。關於線路負荷特性在電壓提高後的變化（即負荷一方有功及無功與電壓的關係）不在本文討論範圍之內。

响。如果以配电线路始端参数为不变值，根据图 4，设始端电压为  $\dot{U}_1$ ，经过电感及电阻压降后可得末端电压为  $\dot{U}_2$ ，功率因数角为  $\varphi$ ；加装串联补偿后的末端电压提高为  $\dot{U}'_2$ ，功率因数角增为  $\varphi'$ ，则末端无功功率将有所增加。

以下用计算说明串联补偿装置对末端无功功率的影响，并与并联补偿方案作一比较。

在配电网末端加装并联补偿电容器后，使末端获得的无功功率等于电容器的安装容量，这一点大家都很清楚，不必赘述。

如果采用串联补偿，末端无功功率的变化情况如下。在推导中均假定始端电压及功率为一定数值①。

根据图 5(1)，网络末端的功率(以  $\dot{U}_1$  为 X 轴)为：

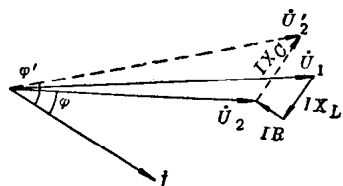


图 4 当线路始端参数为固定值时，串联补偿对末端参数影响的向量图

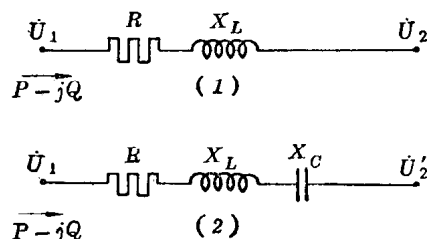


图 5 比较无功功率变化情况的配电网单相示意图

① 水利电力部技术改进局毛鹤森工程师认为，在比较无功的变化时，当加装串联补偿后线路末端电压抬高，如果考虑以电动机负荷为主要负荷，则有功功率的变化不大，无功功率按标么值计算的上升率为电压按标么值增加率的 3 倍。因此，在比较时应按末端有功不变、无功按一定比例上升、始端电压不变等条件进行分析。这里为了说明串联补偿无功的去向，且为了简化计算，暂以此为例作为说明。

$$\dot{W}_2 = -\frac{P-jQ}{U_1^*} \dot{U}_2 = (P-jQ) - \frac{(P-jQ)^2}{U_1^2} (R+jX_L). \quad (9)$$

在图 5(2) 中，网络末端的功率为：

$$\dot{W}'_2 = -\frac{P-jQ}{U_1^*} \dot{U}'_2 = (P-jQ) - \frac{(P-jQ)^2}{U_1^2} [R+j(X_L-X_c)]. \quad (10)$$

根据 (9)、(10) 两式，末端功率在加装串联补偿前后的变化为：

$$\Delta \dot{W} = \dot{W}'_2 - \dot{W}_2 = j \frac{(P-jQ)^2}{U_1^2} X_c = j \dot{I}_1^2 X_c \\ = j \dot{I}_1 \dot{U}_{cu}, \quad (11)$$

式中  $|\dot{U}_{cu}| = |\dot{I}_1| X_c$  ——串联补偿电容器上所承受的实际电压。

由 (11) 式可知，用于串联补偿装置上的电容器的无功功率全部出现于末端，亦即其效果与并联补偿是一样的。但由于通过线路的无功容量增大，因而线损略有增加（与并联补偿时的线损相比较而言）。

必须指出，串联补偿装置对末端无功的贡献将与通过电容器的电流值成正比。在以上推导中均假设线路输送容量为额定值。如果输送功率下降，则串联补偿装置在末端产生的无功功率将成正比例的下降。

根据 (1) 式可以分析线路无功功率对调压效果的影响。在表示线路压降的 (1) 式中，线路压降与  $Q(X_L - X_c)$  有关。当  $X_L = X_c$ ，即补偿度  $K = 1$  时，无功功率  $Q$  对  $|4\dot{U}_2|$  不发生影响。当  $K < 1$ ，即  $X_L > X_c$  时， $X_L - X_c$  为

正值，則 $Q$ 愈大时， $|\Delta U_2|$ 也越大。線路特性与一般无补偿时的情况一样。但在配电网絡中通常总是 $K > 1$ ，即 $X_c > X_L$ ，此时 $(X_L - X_c)$ 为負值， $Q$ 越大，則 $|\Delta U_2|$ 之值下降，甚至成为負数，即成为电压升，亦即通过串联补偿（当 $K > 1$ 时）的无功功率对調压效果起着很大的作用。如果 $K > 1$ ，即在过补偿情况下，但末端有足够的并联补偿装置供給无功，因而線路上的无功 $Q$ 值甚低，則 $Q(X_L - X_c)$ 所引起的电压升也很有限。当 $Q = 0$ 时，串联补偿装置的調压效果趋于消失。

根据某地同志1961年的試驗，得出下列数据：在某線路上測得 $K = 1.44$ ，其串联补偿电容器的調压效果与通过电容器的功率因数有表 1 所示的关系。

表 1

运行方式	輸送容量 (千瓦)	線路电流 (安有效值)	功率因数 ( $\cos\varphi$ )	电压提 高效果 (%)
在末端有并联补偿时投入串联补偿	1500~1520	39	0.765~0.77	8.9~9.1
在末端切除并联补偿时投入串联补偿	1730~1880	48~52.8	0.725~0.707	15.4~16.8

由表 1 可明显看出功率因数对調压效果的影响。

日本1959年，“电力”杂志中，北陆电力株式会社的6千伏串联补偿报告中也提到同一現象。在送端为6.9千伏，線路参数为 $z = 5.364 + j4.534 - j10$  (欧)的情况下，可得到图 6 中的曲綫（当时负荷电流以60安有效值为标准）。

因此，在設有 $K > 1$ 的串联补偿装置的線路上，希望通过線路的无功越大越好，并联补偿将大大降低串联补偿的調压效果。但是，为了調压而全部拆除末端的并联补偿，使全